

87.3712.  
MTW

馬特維耶夫編

# 汽車設計的 研究



机械工业出版社

# 汽車設計的研究

馬特維耶夫 編  
劉異俊 譯



机械工业出版社

1959

## 出版者的話

本书系根据苏联 [Исследования в области конструирования автомобиля] (Машгиз, 1953年版) 論文集中的三篇論文翻譯的。這三篇論文的內容是：1) 汽車汽油发动机曲軸連杆机构零件的磨損。本文作者根据其在高尔基莫洛托夫汽車厂进行的大量試驗，并結合理論的分析，令人信服地闡明了发动机中最重要的曲軸連杆机构零件的磨損性質，正确地解釋了不均匀磨損的原因，从而提出进一步降低磨損的途径。2) 汽車散热器的試驗和研究。本文叙述了由管式汽車散热器的大量試驗所得到的實驗資料，闡明了管式散热器的基本参数对其散热效率、空气阻力和水力阻力的影响，并提出了一系列切合实用的建議。3) 液力偶合器的設計和計算。本文介紹了液力偶合器的作用原理和工作特性，以及其主要参数的选择。

本书系供有关設計研究人員参考，也可供高等学校汽車专业的学生参考。

苏联A. И. Матвеев編 ‘Исследования в области конструирования автомобиля’ (Машгиз 1953年第一版)

\* \* \*

No. 2017

1959年1月第一版

1959年1月第一版第一次印刷

850×1168 1/32 字数172千字 印张6<sup>13/16</sup> 0,000—3,100册

机械工业出版社(北京阜成門外百万庄)出版

机械工业出版社印刷厂印刷

新华書店发行

北京市書刊出版业营业許可証出字第008号

定价(11) 4.40元

4.30

# 目 次

## 一、汽車汽油发动机曲軸連杆机构零件的磨損 .....

…〔斯大林奖金获得者：工程师里浦格尔特（А. А. Липгард）和 技术科学副博士斯特魯尼可夫（Н. Ф. Струнников）著〕	5
1. 摩擦和磨損的若干一般問題 .....	5
2. 研究的对象和方法 .....	10
3. 影响发动机磨損的各项因素 .....	17
4. 气缸中沒有缸套的以及鑄有奧氏体缸套的发动机的磨損 .....	31
5. 連杆軸頸和連杆軸承的磨損 .....	63
6. 主輪頸和主軸承的磨損 .....	86
7. 結論 .....	99

## 二、汽車散热器的試驗和研究 .....

…〔技术科学副博士馬特維耶夫（А. И. Матвеев）著〕	104
1. 序言 .....	104
2. 汽車散热器 .....	105
3. 經過試驗的散热器 .....	109
4. 實驗設備和測量仪表 .....	115
5. 試驗的方法以及實驗資料的整理 .....	121
6. 散热器的特性曲綫 .....	129
7. 散热器的阻力 .....	141
8. 各項因素对散热器諸参数影响的分析 .....	148
9. 总的結論和建議 .....	172

## 三、液力偶合器的設計和計算 .....

…〔技术科学副博士斯特羅耶夫（С. С. Стров）著〕	175
1. 液力偶合器的某些理論基础 .....	175
2. 液力偶合器主要参数的选择 .....	191
3. 結論 .....	214



# 一 汽車汽油发动机曲軸連杆機構零件的磨損

里浦格爾特、斯特魯尼可夫著

## 1. 摩擦和磨損的若干一般問題

机器中的摩擦与磨損两者之間是紧密地关联着的。一物体的表面在另一物体的表面上移动时，就发生摩擦，同时伴随着发热和零件的磨損。机器各运动机件之間摩擦之为害，不仅引起零件的磨損而使之报废，而且还在于克服摩擦要耗費相当大的功率。

汽車发动机中主要的功率損失，是发生于活塞环和活塞对气缸的摩擦以及曲軸軸頸在軸承中的摩擦。

摩擦的本质十分复杂，虽經數世紀研究，至今对此問題仍无一致的观点。目前，苏联的研究者一致公認，摩擦是一个伴随着机械、物理和化学现象的复杂过程。

滑动摩擦分为三类：

- 1) 干摩擦，这时摩擦表面間沒有潤滑油，因此两个零件互相直接接触；
- 2) 液体摩擦，这时两摩擦表面完全被油膜所隔开；
- 3) 不完全潤滑下的摩擦，它又可以分为三种：a) 半液体摩擦；b) 半干摩擦；c) 边界摩擦。

液体摩擦时，磨損和功率損失最小，因此，应力求改善潤滑情况以保証摩擦零件間发生液体摩擦。

液体摩擦的理論和规律，以聞名世界的伟大俄国学者 H.I. 彼得洛夫<sup>①</sup>研究得最为透彻，他在他的著作中，根据潤滑的流体力学理論，証明了在正确設計而正确潤滑的軸承中，发生服从

① 方括弧中的数字是原文版文末参考文献的編號，中譯本未附参考文献，如需参考，可查原文版，后同。——編者

流体动力学规律的液体摩擦，并且在这种轴承中，摩擦的大小仅取决于润滑材料的性能，而与摩擦表面的材料无关。

不完全润滑下的摩擦是混合性的，它兼有干摩擦和液体摩擦的现象。

曲轴连杆机构中的所有零件，均在不完全润滑的情况下工作，特别在发动机起动时，更是如此。

发动机零件磨损的主要部分，发生于不完全润滑的摩擦（发动机中没有干摩擦）；在液体摩擦下，即当摩擦零件完全被油膜隔开时，磨损极小。

在不完全润滑下，发生半干摩擦和半液摩擦，两者的区别仅在于摩擦表面上润滑油量的多少。一般认为在半干摩擦下摩擦表面基本上直接接触，仅在个别地方有润滑油层。在半液摩擦时则相反，基本上是液体摩擦，仅局部地有摩擦表面的直接接触。

边界摩擦是不完全润滑下摩擦的第三种形式。当摩擦表面附有一层极薄的仅有几层分子组成的油膜时，才发生边界摩擦。边界润滑下的摩擦，决定于润滑剂边界层的特殊性质，它与容积性质不同。苏联学者研究了边界摩擦和边界润滑的理论。

汽车发动机中，所有形式的摩擦（干摩擦、液体摩擦以及不完全润滑下的摩擦）都不以单纯的形式出现。例如，气缸壁下部的润滑很充分，因此当活塞向下死点运动时，活塞环和活塞对缸壁的摩擦，在气缸下部可近似地认为是液体摩擦。另一方面，活塞向上运动时（例如在排气冲程时），活塞和活塞环的润滑条件急剧恶化，因为残留在气缸壁上的油膜，在燃烧产物和火焰的作用下发生了变化。气缸的最高部分，润滑情况特别坏，在冷发动机起动后，这部分缸壁上可能发生压缩环对气缸的边界摩擦，甚至干摩擦。

磨损由于摩擦而发生，摩擦时，零件表面上的微粒，由于机械作用和物理化学作用逐渐从摩擦表面上分离，因而改变了零件的原始尺寸和重量。

磨损的强度取决于很多不同的因素：机构的结构特点、发动机的负荷大小和热情况、润滑油和燃料的质量以及润滑油中的机械杂质等等。

应用到内燃机上，目前把磨损分为三类：机械性磨损、磨削性磨损和腐蚀性磨损。

**机械性磨损**。当摩擦零件间没有润滑油、或者有纯净而没有机械杂质并对摩擦表面没有任何化学作用的润滑介质时形成的磨损，称为机械性磨损。这种形式的磨损又称“侵蚀”。

与机械性磨损作斗争的方法，在于提高零件的表面光洁度，仔细地使一个表面与另一个表面磨合并使表面间产生坚固的油膜，以消除两摩擦面的直接接触。

**磨削性磨损**。在不洁润滑油润滑下的摩擦引起的磨损，称为磨削性磨损，此时两摩擦表面间的润滑油层中，有外来的金属微粒、灰尘和碳渣等。

可以用各种方法减小磨削性磨损：一方面是在工厂制造发动机过程中，要仔细地清除发动机上的金属屑末和残留的型砂；另一方面要在发动机运转过程中保证润滑油洁净。后者可用仔细地滤清润滑油、防止磨料物质随进入气缸的空气或通过曲轴箱的漏缝进入发动机等办法来达到。在汽车发动机中，曲轴轴颈主要受到磨削性的磨损。

**腐蚀性磨损**。是由于在酸和气体作用下，摩擦表面发生化学和电化学损坏现象所形成的磨损。发动机气缸的上部主要遭受腐蚀性磨损。

为了减小腐蚀性磨损，可以采用耐磨的材料（奥氏体缸套、镀铬的活塞环等）并提高燃料和滑油的质量。此外，发动机的运转温度提高时，腐蚀性磨损就大大降低，因为这时防止了气缸内水蒸气的凝结。

## 發動機磨損原因的各種觀點

为了有效地与发动机的磨损作斗争，通晓发动机中最薄弱的环节以及其中每个零件的磨损规律和引起磨损的原因，是极端重要的。

研究证明，发动机在汽车上运转时的损坏原因，首先是由于曲轴连杆机构各零件（如气缸、活塞环、曲轴轴颈及曲轴轴承等）的磨损。

磨损的有害后果是由于零件表面磨损的不均匀性（如出现锥度、椭圆度、歪斜以及其他形式的单面磨损）而相当严重。这些现象会使发动机的工作能力降低，修理间隔期限缩短。

在汽车发动机的磨损方面，曾作过大量的科学的研究工作。但是，苏联国产汽车发动机的磨损问题、对磨损的斗争方法，以及苏联汽车工业在延长发动机使用寿命的成就上，都还阐明得不够完全。

在某些理论问题上，存在一些毫无根据的主张和没有被研究所证实的陈旧观点。现在来谈谈对发动机零件不均匀磨损原因的若干错误解释：

- 1) 很多研究者仅以活塞环对缸壁的压力变化来解释气缸沿活塞冲程长度上的不均匀磨损，他们所援引的理由是这个变动的压力当活塞自上向下运动时随气缸中气体压力的降低而减小。
- 2) 气缸的磨损仅决定于活塞环的弹力，而气体（在活塞环上）的压力并不影响磨损（B.П.格莱青[9]）。
- 3) 气缸磨损时出现椭圆度是因为活塞对缸壁的正压力（或侧压力）使活塞环产生了单向压力（H.C.列雪特尼柯夫[29]）。
- 4) 气缸磨损时的椭圆度是由活塞和气缸的变形以及活塞的侧压力所引起的（B.B.叶甫列莫夫[13]）。
- 5) 气缸沿其长度的磨损不均匀性可以用在运转条件下产生的温度场来解释。

6) 連杆軸頸沿長度的不均勻磨損(錐度)，是由每兩個相鄰主軸承間有兩個曲拐使曲軸發生彈性撓曲的結果(Φ. 根福特[6]，A.I. 叶列茨基[12]，B.Я. 金茨布爾格[7]等等)。

7) 連杆軸頸磨損時的錐度是由于油流在軸頸表面不均勻分布引起的。他們斷言，在傾斜的油道下，由於油流速頭的影響，順著油道傾斜方向的那一部分軸頸比相反的一部分潤滑較為充分(П.О. 查列茨基，В.С. 恰卡林[15])。

上述觀點的大部分是基於一定的物理定律，而且其中所指出的現象實際上發生在發動機中。但是，這些現象對氣缸和連杆軸頸的磨損不均勻性在數量上有多少影響，以及具有多大的實際意義，便不清楚了。

上述主張的初步分析如下。

作用在活塞環上的氣體壓力對氣缸的磨損確有重大的影響。但是除了壓力以外，氣缸的腐蝕對氣缸上部的磨損亦有顯著的影響，因為氣缸不是在發動機大負荷時、而是在小負荷時磨損得最為強烈。

B.П. 格萊青的說法十分可疑，因為活塞環由於本身的彈力而施於氣缸壁的壓力，比氣體壓力通過活塞環的傳遞而施於缸壁上部的壓力低得多。

用活塞和活塞環的側壓力來解釋氣缸磨損時的橢圓度是不正確的；實際上，氣缸的最大磨損發生在上部，即活塞的側壓力等於零的地方。

用活塞的變形來解釋氣缸磨損時的橢圓度同樣是不正確的，因為活塞的上部(活塞頸)並不直接與氣缸接觸。

氣缸沿長度及圓周的磨損的不均勻性亦不能用溫度場來解釋。氣缸沿長度和圓周的溫度，曾由莫斯科高等技術學校(MBTY) A.C. 奧爾林和 A.K. 捷雅契可夫[26]加以測量，結果證明，雖然溫度場沿氣缸長度的變化與氣缸的磨損曲線相稱，但是沿圓周的溫度場正好與磨損情況相反：磨損較大的不是氣缸壁的較熱部分，

而是較冷部分。

某些研究者关于曲軸的弹性挠曲对連杆軸頸磨損的影响的結論是沒有根据的。现代六缸四支承曲軸的刚度是足够大的。研究証明，六缸发动机中連杆軸頸磨損时的錐度，不仅在四支承曲軸中而且也可以在七支承曲軸中看到。曲軸的弹性挠曲对連杆軸頸的不均匀磨損并无明显影响。

傾斜油道中的油流速头对潤滑油沿連杆軸頸长度的分布均匀性的影响十分可疑。油道中油流速度并不大，且在軸頸表面的油道出口处，油流的速度还由于油道末端有很大的錐面而减小。油道中的速头仅等于其靜压力的很小一部分，因而不可能对潤滑油在軸頸长度上的分布情况发生明显的影响。

毫无疑问，上述的錯誤观点会轉移研究者和設計師們对闡明磨損的真正原因的注意力，且可能把他們引上不正确的道路。

从上述的簡短分析中可知，为了說明气缸沿其长度和圓周的磨損性質❶，以及这些发动机零件的磨損规律，要求进一步研究和明确过去得到的結果。

## 2. 研究的对象和方法

研究工作的主要部分，是在高尔基城莫洛托夫汽車厂創造新型发动机的时期中完成的。在寻找延长发动机使用寿命的过程中，繼續了这项研究工作。

研究工作的目的包括以下三个部分：

1. 闡明汽車发动机曲軸連杆机构中最易磨損的主要零件——气缸、活塞、連杆軸頸、主軸頸和軸承——的磨損原因、磨損性質和磨損规律。

2. 确定零件不均匀磨損(如形成椭圓度、錐度和歪斜等)的

❶ 磨損性質是磨損表面的形状和状态。磨損性質說明零件的磨損量在各方面是如何变化的(例如，气缸或軸頸沿其圓周和長度是怎样磨損的)。磨損量是磨損最后結果的数量表示，它根据零件的尺寸或重量的改变来确定。

原因。

3. 檢驗為延長發動機使用壽命而採用的或準備採用的各種措施的效能。

研究汽車發動機零件的磨損量和磨損性質，還只能通過發動機的試驗。發動機零件計算的理論方法還研究得非常不夠，因此在問題的現階段中，理論可能僅對分析發動機零件磨損時所發生的複雜現象有所幫助而已。

發動機或者在試驗台上試驗，或者裝在汽車上在道路條件下進行試驗。

發動機磨損的試驗台試驗應用很廣泛，但是對汽車發動機來說却並不太適合，而用來試驗氣缸的磨損則根本不適用。汽車發動機在試驗台上的工作條件與在汽車上的運轉條件大不相同。想要找出近於使用條件的試驗台狀況，到目前為止還是沒有結果，因而在試驗台上得到的結果，照例與正常使用時所得到的結果不同。

高爾基汽車廠完全摒棄了在試驗台上作發動機磨損的一般試驗，除了試驗曲軸軸承和研究個別因素對磨損的影響以外，所有的試驗均在道路條件下進行。

發動機的道路試驗，要求對大量的試驗對象進行觀察和實驗。這時，所有偶然的現象易於被排除，從而消除了得出錯誤結論的可能。

研究零件的磨損性質時，採用道路試驗的方法特別簡單。

如果為了比較不同發動機中零件的磨損量而要求相同的試驗條件，這在道路條件下是難於保證的，那末為了闡明零件的磨損性質和磨損規律，條件的同一性是不一定需要的。

在大多數情況下，並不想對不同的發動機創造相同的試驗條件。但是，發動機的實際運轉條件要在下結論時加以考慮。在評價磨損性質時，道路條件的多樣性是有利的因素。實際上，如果磨損性質與使用條件无关，那末這就是起源于設計上缺陷的可靠標誌。

1942～1950年間，莫洛托夫汽車廠曾將許多發動機作過道路

試驗，并研究了曲軸連杆機構各零件的磨損。在此期間內，曾試驗和研究了150台以上的發動機。試驗的主要對象，是大批生產的六缸發動機ГАЗ-51和較其更早出產的ГАЗ-11發動機。М-20、ГАЗ-MM、ЗИС-5以及許多其他廠牌的發動機，也作了試驗和研究。研究零件磨損工作中有大量的試驗。36台帶有不同的氣缸套、曲軸、連杆、活塞環和其他試驗零件的試驗發動機，進行了道路試驗。

所有發動機均在道路條件下經過磨損試驗。大部分(98台)發動機在汽車廠的設計——試驗處的試驗車間里、在作者的監督和直接參加下進行試驗。其餘的發動機是在汽車廠和高爾基城的汽車運輸單位里進行試驗，作者沒有參加，但周期地進行了巡視。17台發動機在ГАЗ-51和ГАЗ-63載重汽車上經過專門的工廠試驗和國家試驗。

上述每一台發動機在道路上的里程在10,000~70,000公里之間。當試驗循環終了(此時發動機不需要修理)，或者當個別零件如活塞環、軸瓦和氣缸等磨損後發動機需要小修時，就停止試驗，同時拆卸發動機，進行零件的測微。

試驗時所應用的燃料大都是汽車汽油，在某些情況下用Б-70號汽油。少數汽車用液態煤氣運轉，它主要由脂肪族碳氫化合物組成，其成分是：丁烯70~80%，丙烯3%，戊烯10~15%，苯10~12%以及瀝青質等。

發動機所應用的潤滑油按照供應的可能性而不同，有機器油СУ和汽車滑油(автол)兩種。

汽車全年在極不相同的條件下，在各級路面上和荒野無路地區行駛。

使用、保養和維護的條件對大部分汽車來說都是正常的。僅在某些城市和區的汽車運輸企業中，汽車在使用時違背了基本的保養規程：用代用品作為燃料；不遵守發動機潤滑油的更換期限，有時應用工作過的滑油。汽車基本上停放在車庫內。

在道路条件下試驗時，各发动机零件磨損量的变动范围很大，因而在不很多的實驗下，把試驗零件的磨損与規定的标准零件的磨損加以比較并作出結論是非常冒险的。因此，为了闡明各种结构改变的效果，采用了就在同一台发动机上比較試驗零件和标准零件磨損的方法。三个气缸(或軸頸)，例如第一、三、五(或第一、二、三)气缸，作为試驗零件，而其余的仍然是标准零件。在某些情况下，要在同一曲軸上进行两个不同的實驗，这时試驗連杆軸頸的数量減至两个。

每一个實驗同时在两、三台发动机上进行，同时使試驗零件和标准零件更換位置。

在同一台发动机中进行試驗的方法，有可能在完全相同的工作条件下比較試驗零件和标准零件的磨損，因此得到的結果是完全可靠的。

但是，仅可能在設計上十分成熟的发动机中应用这个方法，因为只有在这种发动机中，处于不同位置的同一种零件，在磨損上才沒有規律性的差別。由于某种不可避免的生产上和使用上的原因而引起的个别零件在磨損上的差別，照例不足以歪曲試驗的結果。

某些措施对减小磨損的影响很小，以致它将被同一种零件由于偶然的原因所引起的磨損变化量 所超过，可不予考虑。实际上，这样的措施或者根本沒有效果，或者效果极小。

零件的磨損，或者可用直接測量法，或者可以根据潤滑油中的含鐵量加以估計。根据潤滑油中的含鐵量决定磨損量的方法，可以用来可靠地确定发动机的总磨損；但是在研究个别零件的磨損以及闡明不均匀磨損的原因时，这个方法是不适用的。潤滑油中的含鐵量只說明了总的磨損强度和磨損的总量，但并不涉及个别零件的磨損，而且根本不可能提供关于磨損性质的概念。

直接測量法是这样的：当对零件进行几何測量时，磨損决定于試驗前后几何尺寸的差別；而在重量測量时，则决定于零件重

量的差别。

通常只测量孔或轴的直径，并且计算在孔或轴两边的总磨损量。这个总磨损量在以后将规定称为直径上的磨损。

直径测量的缺点在于不能提供关于磨损分布的真实概念。

在研究磨损了的零件和分析磨损原因时，知道零件在什么地方受到最大的磨损以及什么地方磨损最小是极端重要的。因此，除了零件的直径测量外，还广泛采用半径（径向）测量，用这个方法可以确定气缸和曲轴轴颈的径向磨损情况。

### 测微技术

试验前的新零件和试验后磨损了的零件的测微，均在温度保持 15~20°C 的试验室内进行。

进行测微时，曾经应用了“量规”工厂和“红色工具制造者”工厂出产的各种量具。

为了确定 ГАЗ-51 和 М-20 发动机气缸的径向磨损，曾经设计和制造了一种专用的径向内测微器，其简图示于图 1。

中心杆 1 与气缸轴线相重合，以此杆为基准测量磨损了的气缸上任一点的半径。用定位套筒 6 和 10 以及对中轴套 7 和 9 来保证中心杆与气缸轴线的重合。定位套筒 9 在下部开有四条纵向的缝，而套筒 10 则在上部开缝。作为定位基准的是气缸上部未磨损的环形地带和气缸下部在活塞环冲程范围以

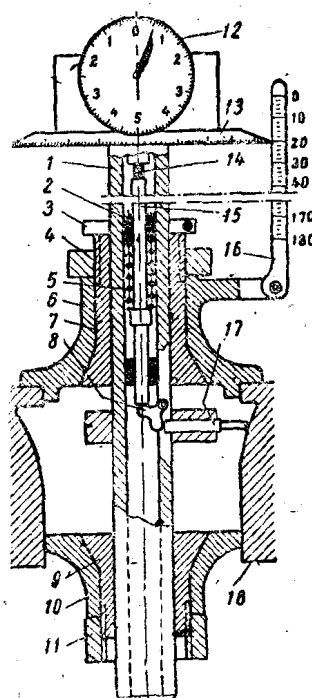


图 1 用作气缸径向测量的指针式内测微器：

1—中心杆；2—衬套；3—夹头；4—螺帽；5—弹簧；6、10—定位套筒；7、9—对中套筒；8—小杠杆；12—指示表；13—刻度盘；14—指示表脚；15—杆；16—深度标尺；17—测量杆；18—气缸。

外的磨損很小的地帶。

仪器零件的制造精度很高，套筒6、7、9、10的縱軸与中心杆1的軸綫严格地相重合，因而也与气缸縱軸相重合。中心杆1可与測量杆17一起在对中軸套7和9內轉動360°。轉角可用刻度盤13量出。中心杆可以上下移动，且可用夹头3固定在沿气缸高度的任何位置上。

測量杆17通过小杠杆8及杆15与千分表12相連接。

在內測微器裝到气缸中之前，先在直径与气缸名义直径相等的标准圓环中校准到零点。在計算磨損量时，要考慮到气缸体的烙印上标出的气缸实际原始直径而加以修正。

在大多数情况下，在气缸长度方向每隔10公厘①測量一次，而沿圓周則在两个方向上加以測量：第一垂直气缸体的縱軸，第二平行气缸体的縱軸。

为了确定气缸沿其圓周的磨損量和磨損性质，每隔30°圓周測量一次。內測微器的讀数應該周期地加以校对(复驗)，这时可

用外測微器測量从气缸中压出的缸套上的小台阶的方法(图2)。

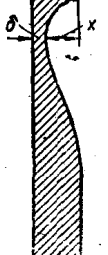


图2 缸套上部

磨損量的確定：

a—原始尺寸；b—磨

損了的缸套的壁厚；

c—磨損量。

連杆軸頸的直径在两个地帶上測量：第一在軸頸的前端，第二在其后端。每一地帶在两个方向上进行測量：第一在曲柄平面內，第二在垂直曲柄的平面內。

主軸頸的直径也在两个地帶上沿着两个相互垂直的方向进行測量，其中之一是与第一和第六个曲柄的方向相重合。

軸頸測量的簡圖示于图3。

为了得到連杆軸頸和主軸頸完整的磨損图，应用了特別的測量方法，以决定軸頸沿其

① 我們摒弃了过去所采用的在少数有代表性的点上测量气缸的方法，因为在气缸的磨損比較特殊的情况下，这种方法仍然不能闡明磨損的真象。

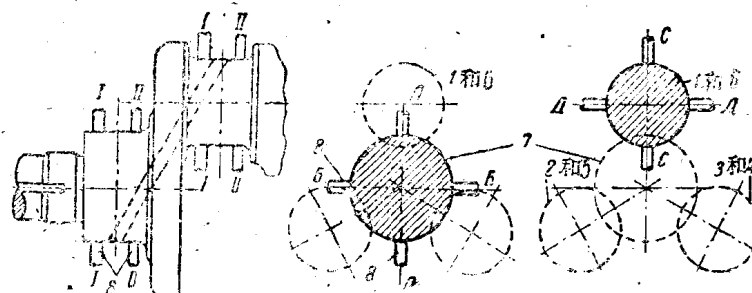


图 3 测量曲轴连杆轴颈和主轴颈直径的简图：

I-I—第一地带； II-II—第二地带（对所有轴颈）； AA—第一方向；  
BB—第二方向（对主轴颈）； CC—第一方向； DD—第二方向（对连杆轴颈）；  
1~6—连杆轴颈的顺序号码； 7—主轴颈； 8—测微器脚。

长度和圆周的任何点上磨损层的厚薄。曲轴用两外侧主轴颈的未磨损地带安置在精密的检验平板的V形铁上，用特殊的千分表测定每一轴颈的径向磨损量。测量磨损的大小时，以未磨损地带a和u作为原始基准（图4）。

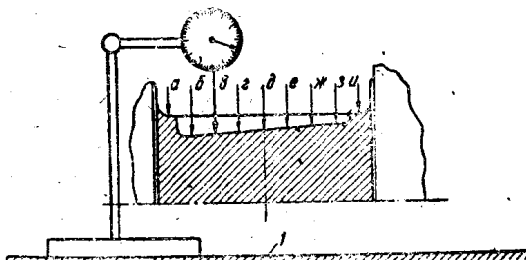


图 4 曲轴轴颈磨损的径向测量：1—检验平板。

千分表在点a及u上的读数相同，因为连杆轴颈的轴线安装得与平板的平面平行，而测量是以平板为基准的。6点的磨损等于千分表在a与6点的读数差（公差），6点的磨损等于千分表在a与e点的读数差，以此类推。

连杆大头轴瓦和主轴承轴瓦按其厚度测量。活塞环根据其高度以及当它装在名义直径的气缸中时的搭口热间隙进行测量。

活塞销、连杆小头衬套和活塞裙均在直径上测量。